


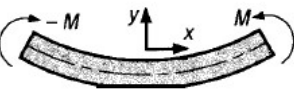
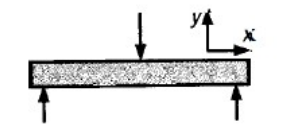
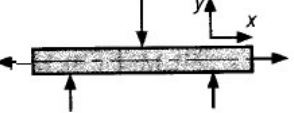
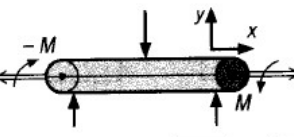

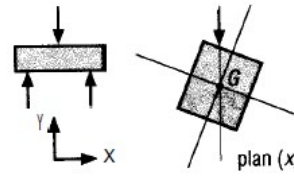


**I - Sollicitations simples et composées**

Cas	Exemple	Composantes				Observations
		N	T	$M_T$	$M_t$	
traction		N	0	0	0	Sollicitations simples
cisaillement		0	T	0	0	
torsion		0	0	$M_T$	0	
flexion pure		0	0	0	$M_z$	
flexion simple		0	$T_y$	0	$M_z$	Sollicitations composées
flexion + traction		N	$T_y$	0	$M_z$	
flexion + torsion		0	$T_y$	$M_T$	$M_z$	
flambage		N	0	0	$M_z$	
flexion déviée		0	$T_y$	0	$M_z$	
			$T_z$	0	$M_y$	

## II - Traction

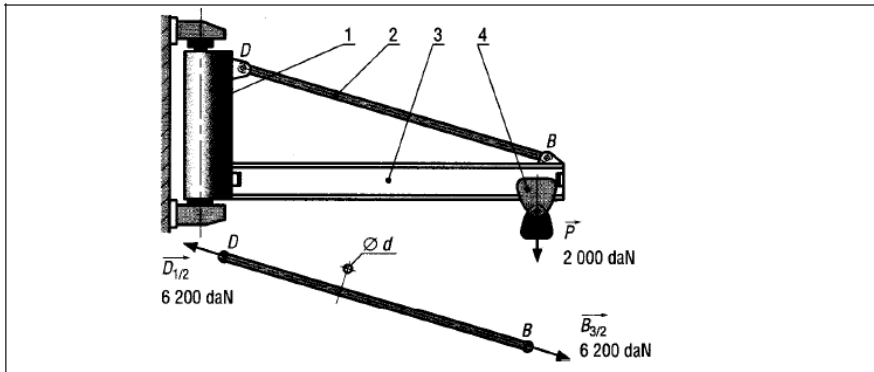
### 1°) Définition - Exemple

Une poutre droite est sollicitée en traction chaque fois que les actions aux extrémités (A et B) se réduisent à deux forces égales et opposées ( $\vec{F}$  et  $-\vec{F}$ ) de direction la ligne moyenne ( $L_m$ ).



Fig. 1

### Exemple



ig. 2

La potence à tirant proposée est utilisée en manutention pour lever et déplacer des charges. Elle se compose d'un palan 4, d'une poutre-rail 3, d'un fût pivotant 1 et du tirant 2.

Le tirant 2 est soumis à une sollicitation de traction : il est soumis à l'action de deux forces  $D_{1/2}$  et  $B_{3/2}$ , égales et opposées, direction BD, intensité maximale 6 200 daN (cas où le palan 4 est à l'extrême droite).

Le tirant est cylindrique, de diamètre  $d$  inconnu, de longueur 2,8 m, et est réalisé en acier (résistance à la rupture  $R = 500$  MPa, limite élastique  $R_e = 300$  MPa). Le diamètre  $d$  sera déterminé dans les paragraphes suivants.

### 2°) Effort Normal N

Faisons une coupure fictive de la poutre (section droite  $S$  située à  $x$  de  $A$ ) entre les deux extrémités  $A$  et  $B$  pour faire apparaître les efforts intérieurs dans la poutre. La coupure  $S$  divise la poutre en deux tronçons  $AG$  et  $GB$ . Quelle que soit la position de la coupure (ou de la valeur de  $x$ ), chaque tronçon est soumis à deux forces égales et opposées.

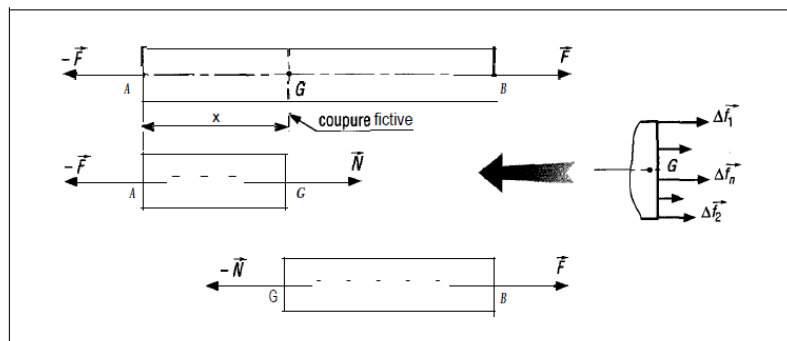


Fig. 3

En effet, si on isole le tronçon  $AG$ , la résultante des actions  $\Delta f_1, \Delta f_2, \dots, \Delta f_n$  exercées en chaque point de la coupure par le tronçon  $GB$  se réduit au seul effort normal  $\vec{N}$  en  $G$  (centre de gravité ou barycentre de la coupure  $S$ ), tel que :

$$\vec{N} = \Delta \vec{f}_1 + \Delta \vec{f}_2 + \dots + \Delta \vec{f}_n = \vec{F} \text{ (direction AGB)}$$

$$\boxed{N = F} \quad (\text{quel que soit } x)$$

### Exemple du tirant

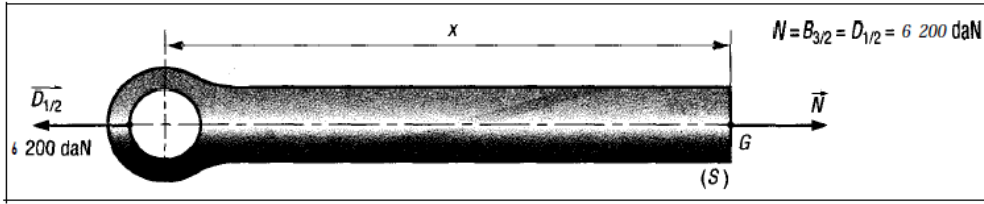


Fig. 4

### 3°) Contrainte normale uniforme $\sigma$

On dit qu'il y a répartition uniforme des contraintes dans la coupure ou section droite S. Il en résulte que :

$$\sigma = \frac{N}{S}$$

$\sigma$  : contrainte normale en MPa ou  $N \cdot mm^{-2}$   
 $N$  : effort normal en N  
 $S$  : aire de la section droite en  $mm^2$

**Exemple** : reprenons l'exemple du tirant en supposant  $d = 20$  mm.

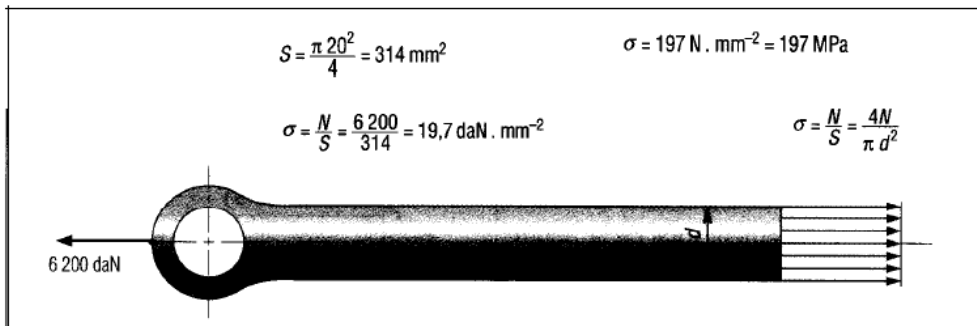


Fig. 6

### 4°) Conditions de résistance

Pour des questions de sécurité liées à l'usage de l'appareil, la contrainte  $\sigma$  précédente doit rester inférieure à une contrainte limite admissible, appelée résistance pratique à l'extension  $R_{pe}$ . Il en sera ainsi pour toutes les constructions de ce type.

La résistance pratique  $R_{pe}$  est fixée par des normes ou par le constructeur. Dans le cas général,  $R_{pe}$  est définie à partir de la limite élastique  $R_e$  du matériau.  $R_e$  est une donnée (voir essai de traction).

$$\sigma_{\max} = \frac{N}{S} \leq R_{pe} = \frac{R_e}{s}$$

$s$  est le coefficient de sécurité adopté pour la construction de l'appareil. Sauf pour les cas où la rupture est recherchée, le coefficient de sécurité est choisi de façon à ce qu'en cours de fonctionnement normal, les contraintes normales maximales ne dépassent pas la limite élastique  $R_e$  du matériau.

**Remarque** : dans certains cas (matériaux fragiles, etc.), on préfère utiliser la résistance à la rupture  $R_r$  du matériau, à la place de  $R_e$ , pour définir  $s$  (voir chapitre « résistance des matériaux - généralités »).

**Exemple** : reprenons l'exemple du tirant ; si on impose une contrainte admissible de 100 MPa, déterminons le diamètre  $d$  minimal pour la construction de celui-ci et les coefficients de sécurité adoptés. Rappel :  $N = 62\,000$  N.

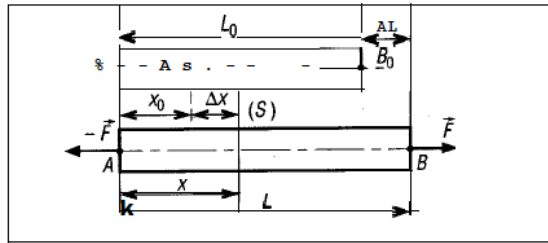
a)  $\sigma_{\max} = \frac{N}{S} = \frac{62\,000}{\left(\frac{\pi d^2}{4}\right)} \leq 100$  d'où  $\frac{62\,000 \times 4}{100 \pi} \leq d^2$

après calcul :  $d \geq 28,1$  mm.

## 5°) Déformations

### 1. Allongements

- $L_0$  = longueur initiale de la poutre
- $L$  = longueur finale de la poutre
- $\Delta L$  = allongement total de la poutre
- $X_0$  = longueur initiale du tronçon
- $X$  = longueur finale du tronçon
- $\Delta X$  = allongement du tronçon



ig. 7

L'expérimentation montre que les allongements sont proportionnels aux longueurs initiales. L'allongement relatif  $\epsilon$  traduit cette propriété :

$$\epsilon = \frac{\Delta L}{L_0} = \frac{\Delta X}{X_0} = \text{allongement relatif (sans unité)} \quad \text{où} \quad \Delta L = \epsilon L_0$$

**Remarques** :  $\epsilon$  caractérise l'allongement d'une poutre de longueur 1 (égale à l'unité).  $\epsilon$  ne doit pas être confondu avec A % (voir paragraphe VI).

**Exemple** : sous charge, le tirant des exemples précédents s'allonge de 4 mm. Déterminons  $\epsilon$  et l'allongement d'un tronçon de longueur 1 m.

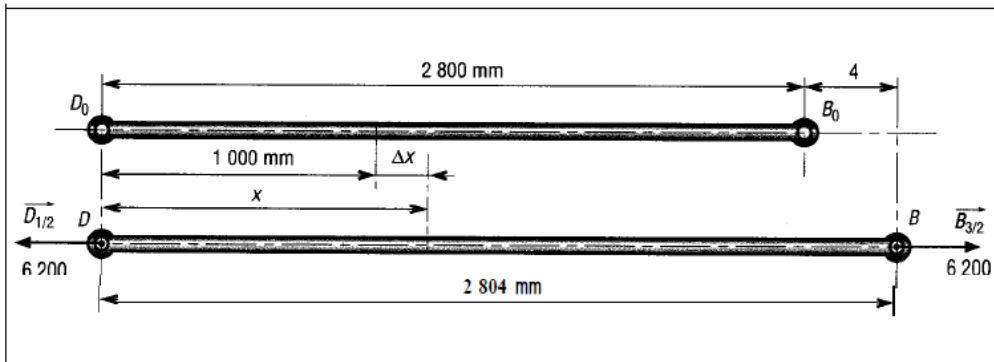


Fig. 8

$$\epsilon = \frac{4}{2800} = \frac{1}{700} = 0,00143$$

$$\epsilon = \frac{\Delta X}{1000} = 0,00143 \quad \text{d'où} \quad \Delta X = 0,00143 \times 1000 = 1,43 \text{ mm}$$

$$X = 1001,43 \text{ m}$$

## 6°) Loi de Hooke - Relation contraintes/déformations

En déformation élastique, la contrainte normale  $\sigma$  est proportionnelle à l'allongement relatif  $\epsilon$ :

$$\sigma = E \epsilon$$

$\sigma$  : contrainte normale MPa ou  $\text{N} \cdot \text{mm}^{-2}$

$\epsilon$  : allongement relatif (sans unité)

$E$  : module d'élasticité longitudinale MPa

### Exemple

Reprenons l'exemple du tirant :  $d=28\text{mm}$ ,  $\sigma=100\text{MPa}$ ,  $E=200\text{GPa}$ ,  $L=2,8\text{m}$

Déterminons l'allongement  $\Delta L$  du tirant :

$$\epsilon = \frac{\Delta L}{L} = \frac{\sigma}{E} = \frac{100}{200000} = 0,0005$$

$$\Delta L = \epsilon L = 0,0005 \times 2800 = 1,4 \text{ mm}$$

## 7°) Essai de traction

### b) Courbes contraintes - déformations

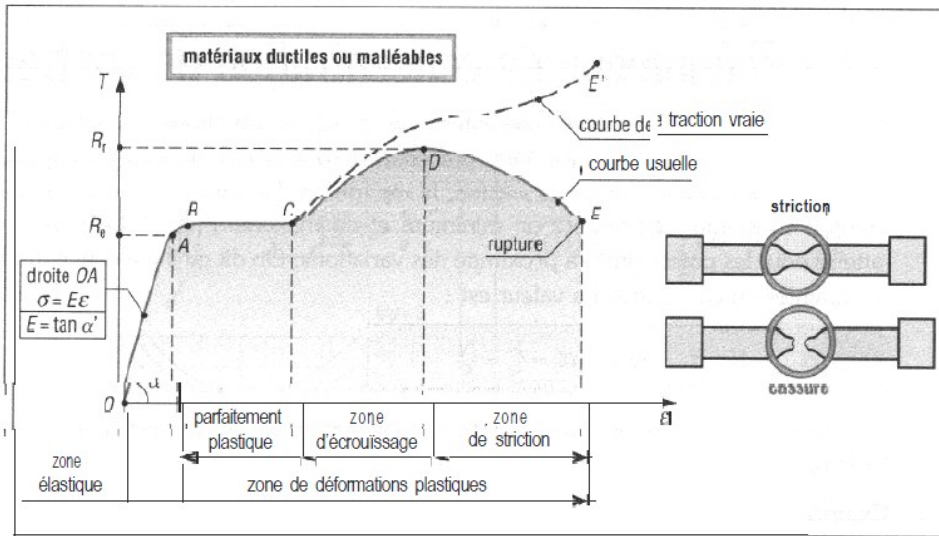


Fig. 13

Les courbes obtenues par essai varient d'un matériau à l'autre. Cependant, un grand nombre de matériaux (métaux, etc.) se comportent comme les graphes des figures 13 et 14, avec une zone de déformation élastique ( $OA$ ) et une zone de déformation plastique.

**Zone élastique  $OA$**  : dans cette zone, l'éprouvette se comporte élastiquement comme un ressort et revient toujours à sa longueur initiale dès que la charge est relâchée. Le point  $A$ , auquel correspond la limite élastique  $R_e$ , marque la fin de la zone. La proportionnalité entre contrainte  $\sigma$  et allongement  $\epsilon$  est traduit par la loi de Hooke (voir paragraphe 1).  $E = \tan \alpha'$  caractérise la pente de la droite  $OA$  et  $\sigma = E\epsilon$  son équation.

**Zone de déformation plastique  $AE$**  : dans le cas des matériaux ductiles, on distingue trois zones  $BC$ ,  $CD$  et  $DE$  (ductilité : aptitude à se déformer plastiquement).

Dans la zone  $BC$ , parfaitement plastique, la contrainte reste constante et l'allongement se poursuit jusqu'en  $C$ . Entre  $C$  et  $D$ , zone d'écroutissage, le matériau subit un changement de structure qui accroît sa résistance. Le point  $D$ , auquel correspond la résistance à la rupture  $R_r$  marque la fin de la zone.

Entre  $D$  et  $E$ , l'éprouvette subit une striction amenant une diminution de la section avec étranglement. La rupture se produit en  $E$ .

**Remarque** : dans le cas des matériaux fragiles (fig. 14), il n'y a ni zone parfaitement plastique  $BC$ , ni zone de striction  $DE$ . De plus, pour ces matériaux,  $A\%$  et  $Z\%$  sont beaucoup plus petits.

La courbe de traction vraie (fig. 13)  $O, A, B, C, E'$  prend en compte la section réelle  $S$  de l'éprouvette, à la place de la section initiale  $S_0$  pour la courbe usuelle.

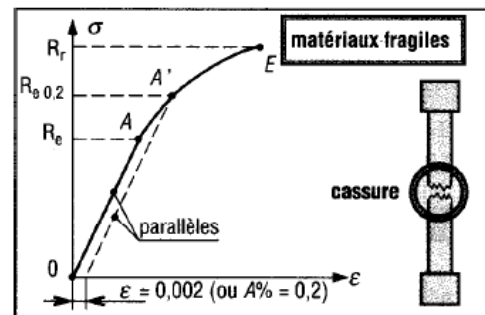


Fig. 14

Dans certains cas, lorsque  $R_e$  est difficile à définir, on utilise  $R_{e0,2}$  pour le remplacer. Lorsque  $\sigma = R_{e0,2}$ , l'éprouvette s'est allongée de  $0,2\%$  (fig. 14).



### III - Torsion

#### 1°) Définition – exemple

Une poutre droite est sollicitée en torsion chaque fois que les actions aux extrémités (A et B) se réduisent à deux couples  $M$  et  $-M$  égaux et opposés d'axe la ligne moyenne  $L_m$ .

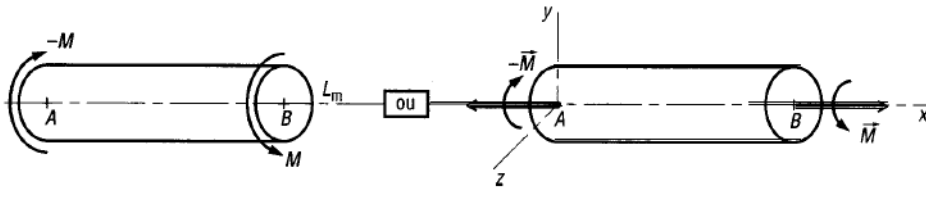


Fig. 1

**Exemple** : tige de tournevis.

Le tronçon AB de la tige du tournevis proposé (longueur 200 mm, diamètre 7 mm) est soumis à une sollicitation de torsion. Le couple de torsion supporté par la tige est :

$$M_B = -M_A = F \cdot a = 24 \text{ Nm}$$

Quelles sont les contraintes exercées et les déformations correspondantes ? C'est ce que nous allons découvrir dans les paragraphes suivants.

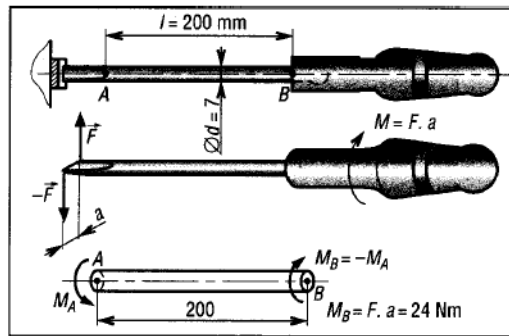


Fig. 2

#### 2°) Déformation - angle unitaire de torsion

Si on suppose que les sections droites tournent toutes entre elles de la même façon, alors l'angle de torsion entre deux sections droites quelconques est proportionnel à la distance entre celles-ci.

Autrement dit :

$\alpha$  : angle de torsion de la poutre

$$\frac{\alpha}{L} = \frac{\alpha_x}{X} = \theta = \text{angle unitaire de torsion}$$

**Exemple** : reprenons l'exemple du tournevis avec  $M = 24 \text{ Nm}$ , si l'angle de torsion  $\alpha$ , mesuré entre **A** et **B** est égal à  $14,6^\circ$  ; déterminons  $\theta$ .

$$\theta = \frac{\alpha_{AB}}{L_{AB}} = \frac{14,6^\circ}{200} = 0,073'' \cdot \text{mm}^{-1}$$

$$= 73'' \cdot \text{m}^{-1} = \frac{73 \times \pi}{180} = 1,274 \text{ rad} \cdot \text{m}^{-1}$$

#### 3°) Efforts intérieurs - moment de torsion $M_t$

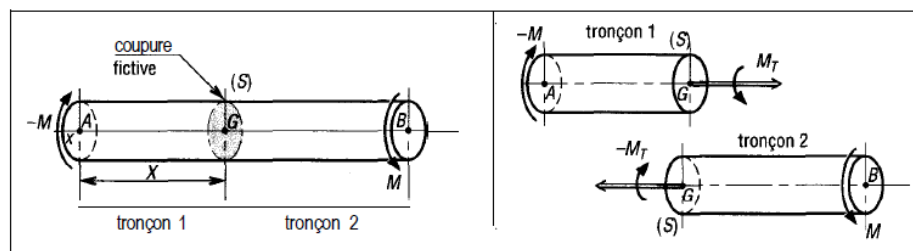


Fig. 5

L'étude de l'équilibre de l'un ou l'autre tronçon (avec la convention des efforts à droite) montre que les actions de cohésion se réduisent à un couple de torsion  $M_T$ , d'axe la ligne moyenne (x), tel que :

$$M_T = M$$

#### 4°) Contraintes tangentielles de torsion $\tau$

En torsion, et dans le cas des petites déformations, les contraintes normales  $\sigma$  sont négligeables. Les contraintes dans la coupure (S) se réduisent à des contraintes tangentielles ou de cisaillement  $\tau$ .

On montre que la contrainte  $\tau_M$  en un point M quelconque de la coupure (S) est proportionnelle à la distance  $GM = \rho$  entre le point et la ligne moyenne.

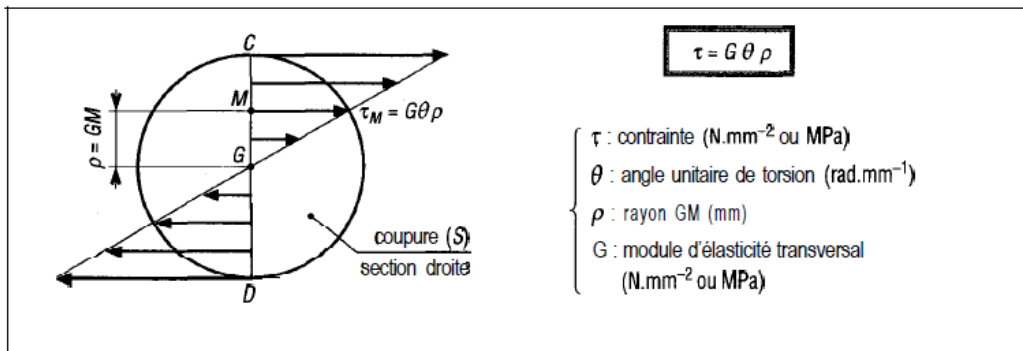


Fig. 6

**Remarques** : tous les points situés sur un même cercle de centre G et de rayon  $\rho$  ont même contrainte. Les contraintes sont maximales à la périphérie :  $\tau_{\max} = G\theta R$  pour  $\rho_{\max} = R$ . Pour les métaux :  $G \simeq 0,4 E$ .

**Exemple** : cas de la tige de tournevis,  $G = 80 \text{ GPa}$ ;  $\theta = 73^\circ \cdot \text{m}^{-1}$ . Déterminons la contrainte de cisaillement maximale dans la tige.

Diamètre de la tige :  $d = 7 \text{ mm}$  d'où  $\rho_{\max} = d/2 = 3,5 \text{ mm}$

$$\theta = 73^\circ \cdot \text{m}^{-1} = \frac{73 \times \pi}{180} = 1,27 \text{ rad} \cdot \text{m}^{-1} = 0,00127 \text{ rad} \cdot \text{mm}^{-1}$$

$$\text{Contrainte} : \tau_{\max} = G\theta\rho_{\max} = 80\,000 \times 0,00127 \times 3,5 = 356 \text{ N} \cdot \text{mm}^{-2}$$

#### 5°) Relation entre $M_t$ et $\theta$

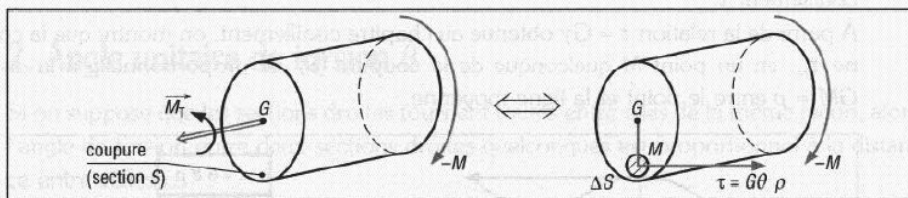


Fig. 8

En chaque point M de la coupure s'exerce, pour l'élément de surface  $\Delta S$  autour de M, une force  $\Delta f = \tau \cdot \Delta S$  dont la direction est perpendiculaire à GM. Le moment de torsion  $M_T$  est égal au moment résultant en G de toutes les forces  $\Delta f$  de la section (S).

$$M_T = \sum_{(s)} M_G(\Delta f) = \sum_{(s)} \Delta f \cdot \rho = \sum_{(s)} \tau \cdot \rho \Delta S = \sum_{(s)} G\theta\rho^2 \Delta S$$

$$= G\theta \sum_{(s)} \rho^2 \Delta S = G\theta \int_{(s)} \rho^2 dS = G\theta I_0$$

Le terme  $\sum_{(s)} \rho^2 \Delta S = \int_{(s)} \rho^2 dS = I_0$  est le moment quadratique de la section (S) par rapport au point G (voir chapitre « moment quadratique » en fin d'ouvrage).

Cas particuliers à retenir :



Fig. 9

$$M_T = G\theta I_0$$

L'angle unitaire de torsion  $\theta$  est proportionnel au moment de torsion  $M_T$

$M_T$  : moment de torsion (Nmm)

$G$  : module d'élasticité transversal (N.mm<sup>-2</sup> ou MPa)

$\theta$  : angle unitaire de torsion (rad.mm<sup>-1</sup>)

$I_0$  : moment quadratique par rapport au point G (mm<sup>4</sup>)

**Exemple :** reprenons l'exemple du tournevis avec  $M_T = 24$  Nm,  $d = 7$  mm,  $G = 80$  GPa, et déterminons l'angle unitaire de torsion.

$$I_0 = \frac{\pi d^4}{32} = \frac{\pi 7^4}{32} = 235,7 \text{ mm}^4$$

$$\theta = \frac{M_T}{G I_0} = \frac{24 \cdot 10^3}{80\,000 \times 235,7} = 0,00127 \text{ rad.mm}^{-1} \text{ (} 72,8^\circ \cdot \text{m}^{-1}\text{)}$$

### 6°) Relation en $\tau$ et $M_t$

À partir de  $\tau = G\theta\rho$  et  $M_T = G\theta I_0$ , on peut écrire :  $G\theta = \frac{\tau}{\rho} = \frac{M_T}{I_0}$

On obtient ainsi :

$$\tau = \frac{M_T}{I_0} \times \rho$$

$$\begin{cases} \tau : \text{N.mm}^{-2} \\ M_t : \text{N.mm} \\ \rho : \text{mm} \\ I_0 : \text{mm}^4 \end{cases}$$

**Exemple :** cas du tournevis,  $M_T = 24$  Nm,  $d = 7$  mm, la contrainte maximale est :

$$I_0 = 235,7 \text{ mm}^4 \text{ et } \tau = \frac{24\,000}{235,7} \times \rho = 102 \rho \text{ N.mm}^{-2}$$

$$\tau_{\text{maxi}} = 102 \rho_{\text{maxi}} = 102 \times 3,5 = 356 \text{ N.mm}^{-2}$$

### 7°) Calcul des constructions

Sauf pour les cas où la rupture est recherchée, la contrainte tangentielle maximale  $\tau_{\text{maxi}}$  doit toujours rester inférieure à la résistance pratique au glissement ou au cisaillement  $R_{pg}$  du matériau.

**Exemple :** si, pour le tournevis précédent, on impose une contrainte admissible au cisaillement de 200 MPa, déterminons la valeur minimale du diamètre  $d$  lorsque  $M_{T \text{ maxi}} = 24$  Nm.

$$\tau_{\text{maxi}} = \frac{24\,000}{\left(\frac{I_0}{V}\right)} = \frac{24\,000}{\left(\frac{\pi d^3}{16}\right)} \leq R_{pg} = 200 \text{ N.mm}^{-2}$$

$$d^3 \geq \frac{24\,000 \times 16}{\pi \times 200} \text{ et } d \geq 8,5 \text{ mm}$$

### 8°) Exercices

□ L'arbre proposé transmet un couple de 3 000 Nm. Si on impose un angle de torsion  $\alpha = 1,8^\circ$  entre les deux extrémités, A et B distantes de 0,8 m ; déterminer le diamètre  $d$  ( $G = 75$  GPa).

Réponse

$$d = 69,5 \text{ mm.}$$

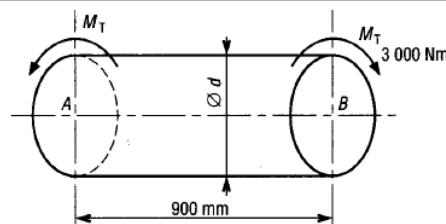


Fig. 26



4 Déterminer la puissance transmise et la contrainte de cisaillement maximale dans l'arbre si le diamètre d'enroulement de la courroie sur la poulie est de 100 mm et si  $T_1 = 1\,000\text{ N}$  et  $T_2 = 400\text{ N}$  sont les tensions respectives des deux brins de celle-ci.  
 $N_{\text{arbre}} = 1\,000\text{ tr.min}^{-1}$ .

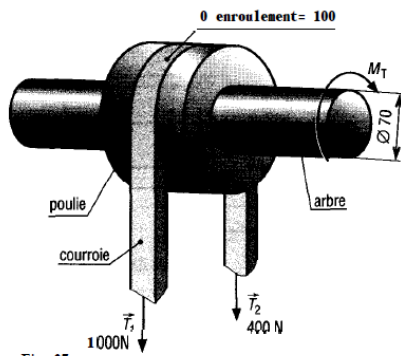


Fig. 27

5 L'arbre plein, de diamètre  $d$  et de longueur 2 m, relie un moteur à un récepteur par l'intermédiaire de deux accouplements. La puissance transmise est de 20 kW à 1 500 tr.min<sup>-1</sup>. Si on impose une contrainte de cisaillement admissible de 80 MPa pour le matériau de l'arbre, déterminer le diamètre  $d$  nécessaire.

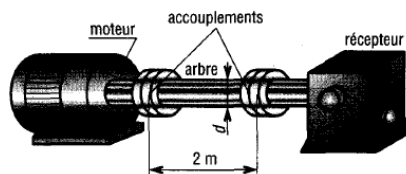


Fig. 28

9 Un arbre de transmission distribue la puissance entre trois roues dentées A, B et C. Si les couples respectifs sont  $C_A = 500\text{ Nm}$ ,  $C_B = -1\,500\text{ Nm}$  et  $C_C = 1\,000\text{ Nm}$ , déterminer les contraintes de cisaillement maximales dans les tronçons AB et BC.

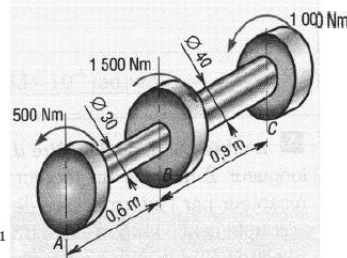


Fig. 31

Réponse:  $\tau_{AB} = 94,3\text{ MPa}$ ;  $\tau_{BC} = 79,6\text{ MPa}$

11 L'arbre proposé distribue la puissance entre quatre roues dentées A, B, C et D. Les couples transmis sont  $C_A = 600\text{ Nm}$ ,  $C_B = -1\,400\text{ Nm}$ ,  $C_C = 266\text{ Nm}$  et  $C_D = 534\text{ Nm}$ . Si la contrainte de cisaillement admissible est de 50 MPa, déterminer  $d_1$ ,  $d_2$  et  $d_3$ .

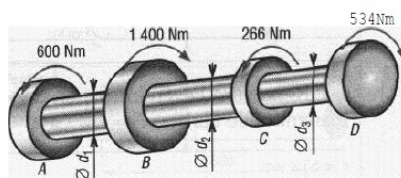


Fig. 32